

京都大学防災研究所 正会員 江頭進治
京都大学防災研究所 正会員 萩田和男

1. 緒言 貯水池内の輸送現象を定量的に把握するため、これまでに、密度成層場における濃度分布、拡散係数や躍層の侵食低下などの場合機構について考察を進めると同時に、実際の貯水池における濃度物質の挙動について検討してきた。本論においては、これらの内題を考察するうえで最も基本的である流速分布・水温分布について、主に、表層流れの場合を対象として若干の実験的考察を行つ。

2. 実験 実験用水路は、幅 38.5 cm、下端端近傍の深さ 70 cm の長方形断面をもつ全長 28 m のもので、路床には $1/100$ のこう配がつけられてある。表層流れに関するところでは、水路下端端の越流せきの高さまで冷水を結氷した後、上端から温水を注入させる方法で、8 ケースの実験がなされた。温水と冷水の水温はそれぞれ 26°C と 16°C で、流量は $1 \sim 4 \text{ l/s}$ の範囲で行われ、流速は水素気泡流により、水温はサーミスタ温度計で計測されてい。

3. 流速分布 図-1 にて、下端端から 4.3 m ($X=4.3 \text{ m}$) 地点で計測された流速分布と $X=5.8 \text{ m}$ 地点で計測された水温分布の結果が、流量の大小によるもののが順次示されている。図において、 h_L は水面から測るたる躍層面の位置で、 Z 軸は鉛直下向きにしてある。水温分布は躍層面の水温 $T(h_L)$ を規準にして示されている。

まず、流速分布についてみると、地表面近傍の定常の大気成層場で認められるようすを *Log-linear* もしくは *Log* 則がかなり広い領域で成立するようと思われる。水温分布との関連性から検討してみると、流量の大小 (a), (b) の結果は、自由表面近傍まで水温こう配が存在し、躍層面上方の全領域にわたって上述の分布則が成立しているが、流量の大きな (c), (d) のものは水面近傍で流速は一様化するが、逆に減少する傾向がみられる。本実験の場合、 B/h_L (B : 水路幅) が $1.9 < B/h_L < 5$ の範囲にあり、図示の全ての結果は概して側壁の影響が現われることが予想される。(a), (b) の結果はほとんどの影響がほとんどせられず、(c), (d) のそれには顕著にみられる。したがって後者の場合、表面付近で水温こう配がほとんどないため、2 次流が容易に形成され、表面近傍での影響が顕著に現れてるものと思われる。以上のようになると、 B/h_L が十分大きいか、(a), (b) の結果のように水温境界層が水面附近まで発達しているような場合は、上述の分布則はよりかなりより精度で分布形が表示されるものと推察される。さういふ、(1) 式の *linear* 項のみは通常これ程大きくなりこないことが予想されるので、*Log* 則のままで十分表示されよう。

なお、*Log-linear* 則は次の式で表される。

$$U(\xi) = \frac{U_*}{K} \left(\ln \frac{\xi}{\xi_0} + \alpha \frac{\xi}{L} \right) \quad (1)$$

$\therefore L = h_L - Z$, α : 係数, L : 定常長, ξ_0 : 相対長, K : カルマン定数。

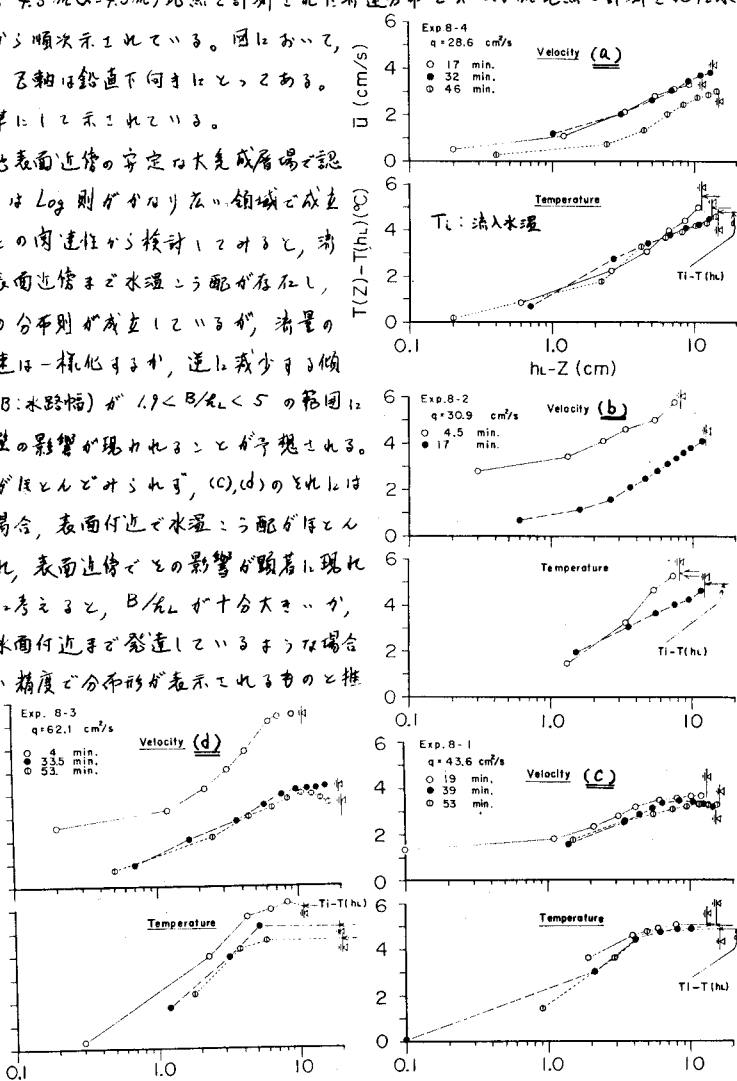


図-1. 流速分布と水温分布

つぎに、流速分布を Log 則 (4) 式で $L = \infty$ のとき (λ_0 を λ) と表示した場合の粗度長さ l について、次式が示される。界面抵抗係数は λ と l と全子の式で用いて換算して取扱う。

$$f_i = 0.2 \varphi^{-0.5}, (\varphi = F_i^2 \cdot Re, F_i: \text{内部フルート数}, Re: レイノルズ数) \dots \dots \dots (2)$$

(1), (2) 式により、相対水準に応する量 η_L/η_0 の因数を 1, 2,

のようには書かれる。この関係はつゝて、たとえマーティ ≈ 1 で示すと図-2のようである。図中には図-1から求められた結果も同時に示してあるが、実験値と(3)式とほぼ同様の傾向を示し、たゞ定まるべく、 R_c/J_0 は4の附近と規定された。

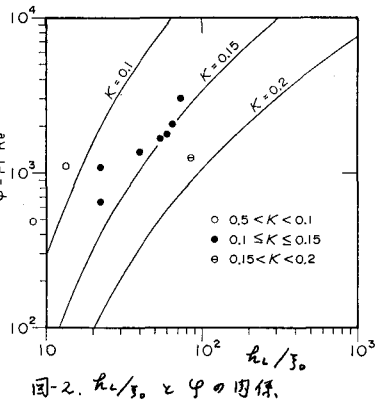


図-2. θ_2/β_0 と Ψ の関係.

4. 水温境界層と水温分布 著者らがこれまでに行なった実験において、全2の場合に2つて水温境界層の発達が顕著に計測された。図-3はその一例として、上・下端断面($X = 14, 5.8\text{m}$)で測定された水温分布を示すとともに、境界層の発達状況を示すため、同水温を示す位置を線で結んで示している。図示のように、明瞭な境界層の発達がみられる。往復断面における水温分布については、上述の水温境界層の発達段階を考慮して考察が必要である。このように水温境界層の発達過程は、レイルズ数を上げる場合と減らす場合とで規定されますが、図-1(c)(d)の結果のように側壁の影響が顕著な場合には、これらに干渉効果を考慮する必要がある。このようなことを念頭におき、図-1の結果を一様計算すると、水温境界層が十分発達した領域における水温分布については、溝速分布と同様、 $\log \eta$ が $\log -l$ 線則に従って表示される可能性のあることが推察される。

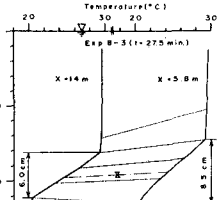


図-3. 水理境界層

5. 中層流れの流速分布 図-4-12は、水位一定の条件で Line Sink により放水した場合の流速分布と水温分布に関する実験結果の一例が示されている。同図において縦軸は取水口の位置(z_s)で無次元化されており、流速は取水口軸の連長線上の流速で無次元化されている。また、図中には $\theta = 0.5 z_s$ のガウス合平均曲線も示されている。流速分布形は、初期の段階において水温分布の初期条件に強く影響された形状表層と主躍層の位置に支配される形狀になる。分布形の分散は中間層の水温こう配定される。最大流速点の位置は、下端の近く近傍を除いて、 z_s の位置に出現する傾向付近に生ずるようである。

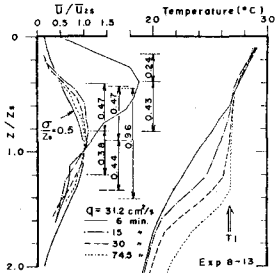


図-4. 中層流れの流速分布の一例 ($X=4.3\text{ m}$ 断面)

6. 結語 以上、表層流れについて主に考察したが、運動量および熱量フランクスが一定の条件を満たしていなければならず大気成層乱流場における分布則が、この種の流れにも適用される可能性の高いことが示された。しかししながら、 \log 則によって渦速・水温分布を表示できることとしても、カルマン定数や buoyancy flux あるいは heat flux などのように詳説するかの問題がある。これについては今後検討しなければならない。水温境界層の問題は、前述したような重要性があればざりでなく、躍層の厚さなどを議論するうえで極めて重要なもう一つの問題である。現在、その発達過程について考察中であるので、結果については講演時に述べるつもりである。

最後に、本研究は一部文部省科学研究費（代表 足立昭平 名大教授）の補助を受けた。一二一記12 感謝の意を表すとともに、実験などでお世話をした、名古屋大学防災研究所 吉田義則教授及び名古屋大学大学院 球多高益博士に感謝する。

参考文献 1) 萩田・江頭：密度躍層の初了場における漏水の挙動と肉厚の研究(3)-清孔と混合模様-，防災研年報，昭52.4。2) 工木学編：水理公式集，昭46年改訂版，第7編7章。